

برآورد عمق و نوع توده‌های مولد بی‌هنچاری مغناطیسی با استفاده از تلفیق تابع‌های ویژه سیگنال تحلیلی و اویلر و اهمامیخت

کمال علمدار^{۱*}، ابوالقاسم کامکار روحانی^۲ و عبدالحمید انصاری^۳

۱ دانشجوی دکتری اکتشاف معدن، دانشکده معدن، نفت و پژوهی‌رسانی، دانشگاه صنعتی شهرورد، ایران

۲ دانشیار، دانشکده معدن، نفت و پژوهی‌رسانی، دانشگاه صنعتی شهرورد، ایران

۳ دانشیار، دانشکده مهندسی معدن و متالورژی، دانشگاه یزد، ایران

(دریافت: ۰۶/۰۶/۰۸، پذیرش نهایی: ۰۴/۰۶/۰۸)

چکیده

تابع‌های ویژه اویلر و سیگنال تحلیلی نقش اساسی در تفسیر خودکار داده‌های میدان پتانسیل به ویژه داده‌های مغناطیسی سنجی ایفا می‌کنند. در این مقاله با ترکیب این دو تابع روشی خودکار برای تفسیر داده‌های مغناطیسی سنجی دو و سه‌بعدی عرضه شده است. با این روش هر دو عمق و شاخص ساختاری (نوع توده) مربوط به توده‌های زیرسطحی برآورد می‌شود. معادله نهایی از جای گذای مشتقات معادله اویلر در تابع سیگنال تحلیلی حاصل می‌شود. این روش روی داده‌های مغناطیسی مصنوعی مدل‌های گوناگون و در اعماق متفاوت به کار برده شده است و در همه موارد، نتایج قابل قبولی را به دست داده است. همچنین این روش روی داده‌های مغناطیسی هوایی فلات بیلگارن استرالیای غربی به کار رفته که منجر به بارزسازی دایک‌های موجود شده است. ضمناً این روش با موفقیت روی داده‌های مغناطیسی سنجی زمینی نیمرخی در معدن سنگ آهن مرکزی ایران (بافق) به کار رفته و نتایج آن با استفاده از مدل‌سازی معکوس صحت‌سنجی شده است.

واژه‌های کلیدی: اویلر، سیگنال تحلیلی، میدان پتانسیل، بیلگارن، سنگ آهن ایران مرکزی، مدل‌سازی معکوس

Depth and body type estimation of the magnetic anomalies using analytic signal and Euler deconvolution.

Alamdar, K.¹, Kamkare-reouhani, A.² and Ansari, A. H.³

¹Ph.D. Student in Mineral Exploration, Mining, Petroleum and Geophysics Department, Shahrood University of Technology, Iran

²Associte Professor, Mining, Petroleum and Geophysics Department, Shahrood University of Technology, Iran

³Associte Professor, Department of Mining and Metallurgical Engineering, Yazd University, Iran

(Received: 05 Sep 2011, Accepted: 14 May 2013)

Summary

A variety of semiautomatic methods, based on the use of derivatives of the magnetic anomalies, have been developed for the determination of both of the causative source parameters such as locations of boundaries and depths. One of these techniques is the method of the analytic signal for magnetic anomalies, which was initially used in its complex function form and makes use of the properties of the Hilbert transform. Initially, it was successfully applied on profile data to locate dike like bodies. The method was further developed by Roest et al. (1992) for the interpretation of aeromagnetic maps. Moreover, Bastani and Pedersen (2001) employed the method to estimate many parameters of dike like bodies, including depth, strike, dip, width, and magnetization.

E-mail: kamal.alamdar@gmail.com

*نگارنده رابطه: تلفن: ۰۹۱۳۳۵۱۸۱۴ - ۰۲۷۳-۳۳۹۵۵۰۹ - دورنگار: ۰۲۷۳-۳۳۹۵۵۰۹

Also, Salem et al. (2002) demonstrated the feasibility of the method to locate compact magnetic objects often encountered in environmental applications. The success of the analytic signal method results from the fact that source locations of magnetic anomalies are obtained using only a few assumptions .For example, horizontal positions are estimated by the maxima of the amplitude of the analytic signal (AAS). In addition, depths can be obtained from the shape of the AAS or based on the ratio of the AAS to its higher derivatives. However, a correct estimate of the depth is obtained only when the source corresponds to the chosen model. Several attempts have been made to enable the analytic signal method to estimate both the depth and model type of magnetic sources. Furthermore, a number of automated methods only for source location from 2D (profile) magnetic data have been developed, based on either the local wavenumber. The main advantage of using derived quantities such as the local wavenumber (LW) and amplitude of the analytic signal (AS) is that they are generally independent of source magnetization and dip effects, therefore allowing positional parameters such as depth and horizontal location to be determined more directly than from the magnetic field.

Special function such as Euler deconvolution and analytic signal play an important role in potential field data interpretation particularly in the case of magnetic data. In this paper, a new method is proposed based on the combination of these two functions that can lead to automatic interpretation of 2D and 3D magnetic data. In this method both the depth and type of subsurface body will be estimated simultaneously. The final equation is produced with substitution of the Euler deconvolution derivatives in the analytic signal equation. The proposed method has been applied on synthetic and real magnetic data successfully. Also this method is applied on high-resolution aeromagnetic data from Yigarn plateau in Western Australia in which it enhanced the dykes. This method is applied on a ground magnetic profile in Central Iranian Iron ore in Bafgh and the results were tested using inverse modeling.

Keywords: Euler, Analytic signal, Potential field, Yigarn plateau, Central Iran Iron ore, Inverse modeling

۱ مقدمه

از سوی روئست و همکاران (۱۹۹۲) برای تفسیر نقشه‌های مغناطیس‌سنگی توسعه یافت. باستانی و پدرسون (۲۰۰۱) این تابع را برای برآورد پارامترهای فیزیکی توده‌های دایکی شکل شامل عمق، امتداد، شب، عرض و مغناطیس شدگی به کار برداشتند. سالم و همکاران (۲۰۰۲) کارایی این روش را در تعیین اشیاء مغناطیسی در تحقیقات محیط زیست معرفی کرد.

موفقیت سیگنال تحلیلی در تفسیر داده‌های مغناطیسی این است که در آن موقعیت توده‌های مولد بی‌亨جاري با حداقل فرض قابل دستیابی است. برای مثال موقعیت افقی توده از روی نقطه بیشینه دامنه تابع سیگنال تحلیلی (AAS) Amplitude of Analytic Signal) تعیین

برای برآورد پارامترهای توده مولد بی‌亨جاري مغناطیسی مانند موقعیت مرزهای توده و عمق تا بالای آن چندین روش تفسیر خودکار بر مبنای استفاده از گرادیان‌های میدان مغناطیسی توسعه یافته است. یکی از این روش‌ها سیگنال تحلیلی است که در اوایل کاربرد خود به صورت تابع مختلط به کار گرفته شد (نیقیان، ۱۹۷۲؛ آتوچا رائو و همکاران، ۱۹۸۱؛ نلسون، ۱۹۸۸؛ پدرسون، ۱۹۸۹؛ روئست و همکاران، ۱۹۹۲، مک‌لند و همکاران، ۱۹۹۳؛ ویلیامز و همکاران، ۲۰۰۲، ویلیامز، ۲۰۰۵). تابع سیگنال تحلیلی در ابتدا برای تفسیر داده‌های دوبعدی در امتداد نیم‌رخ مربوط به توده‌های دایکی شکل به کار گرفته شد (نیقیان، ۱۹۷۲، ۱۹۷۴؛ آتوچا رائو و همکاران، ۱۹۸۱، ۱۹۸۴) و در ادامه

T و تبدیل هیلبرت آن تعریف می‌شود. همچنین این تابع را می‌توان به صورت ترکیب مشتق افقی و قائم میدان مغناطیسی کل T بیان کرد (نیقیان، ۱۹۷۲). سیگنال تحلیلی به شکل آخر به صورت زیر نوشته می‌شود:

$$A(x, y) = \left(\frac{\partial T}{\partial x} \hat{x} + \frac{\partial T}{\partial y} \hat{y} + \frac{\partial T}{\partial z} \hat{k} \right), \quad (1)$$

که در آن، $\hat{x}, \hat{y}, \hat{z}$ به ترتیب بردارهای واحد در امتداد x, y, z عدد موهومی $\sqrt{-1}$ ، مشتق قائم و مشتقهای افقی میدان مغناطیسی هستند. دامنه سیگنال تحلیلی سه‌بعدی از رابطه زیر نتیجه می‌شود:

$$|AAS(x, y)| = \sqrt{\left(\frac{\partial T}{\partial x} \right)^2 + \left(\frac{\partial T}{\partial y} \right)^2 + \left(\frac{\partial T}{\partial z} \right)^2}, \quad (2)$$

معمولًا در تفسیر داده‌های میدان پتانسیل از دو اصطلاح «مشتق سیگنال تحلیلی و سیگنال تحلیلی مشتق» به طور گسترده زیاد می‌شود. هنگامی که از رابطه مربوط به اندازه سیگنال تحلیلی رابطه (۱) در سه امتداد x, y و z به طور تحلیلی (ریاضی) مشتق گرفته شود، روابط مشتق سیگنال تحلیلی نتیجه می‌شود رابطه (۳). اما منظور از سیگنال تحلیلی مشتق این است که در رابطه مربوط به اندازه سیگنال تحلیلی از مشتق داده‌های میدان پتانسیل استفاده شود رابطه (۴). به عبارت دیگر مشتقهای مرتبه اول و دوم سیگنال تحلیلی با محاسبه اندازه مؤلفه‌های گرادیان افقی از مشتق قائم میدان پتانسیل T حاصل می‌شود و نه از محاسبه مشتق قائم گرادیان افقی.

$$\frac{\partial |A(x, y)|}{\partial x} = \frac{1}{|A(x, y)|} \left\{ \begin{array}{l} \frac{\partial^2 T(x, y)}{\partial x^2} \frac{\partial T(x, y)}{\partial x} + \\ \frac{\partial^2 T(x, y)}{\partial x \partial y} \frac{\partial T(x, y)}{\partial y} + \frac{\partial^2 T(x, y)}{\partial x \partial z} \frac{\partial T(x, y)}{\partial z} \end{array} \right\} \quad (3)$$

می‌شود. به علاوه اینکه عمق تا بالای توده مولد نیز از روی شکل AAS (روئست و همکاران، ۱۹۹۲) و همچنین از روی نسبت بین AAS و مشتقهای مرتبه بالاتر آن قابل برآورد است (هسو و همکاران، ۱۹۹۶، ۱۹۹۸؛ باستانی و پدرسون، ۲۰۰۱؛ سالم و همکاران، ۲۰۰۲، ۲۰۰۵، ۲۰۰۸؛ سالم و همکاران، ۲۰۰۵). با این حال در این روش‌ها برآورد عمق صحیح، زمانی حاصل می‌شود که مدل منبع زیرسطحی با مدل مفروض قرابت داشته باشد (تورستون و اسمیت، ۱۹۹۷). تلاش‌های زیادی برای استفاده از سیگنال تحلیلی در برآورد هم‌زمان نوع توده (هندسه) و عمق آن صورت گرفته است (دبگلیا و کارپل، ۱۹۹۷؛ اسمیت و همکاران، ۱۹۹۸؛ هسو و همکاران، ۱۹۹۸؛ تورستون و همکاران، ۱۹۹۹).

در این مقاله روش تفسیری خودکاری عرضه می‌شود که در آن بعضی از محدودیت‌های روش‌های قبلی مرتفع، و امکان برآورد هم‌زمان هندسه توده زیرسطحی و همچنین موقعیت افقی و قائم آن از روی داده‌های مغناطیسی مشاهده‌ای میسر شده است. اساس این روش جایگذاری مشتق معادله اویلر در رابطه سیگنال تحلیلی داده‌های مغناطیسی است. این روش به اختصار AN-EUL نامیده می‌شود. با استفاده از این روش عمق و هندسه توده به طور هم‌زمان و در نقاط بیشینه تابع AAS تعیین می‌شود.

۲ نظریه روش

از آنجا که در نظریه روش از مشتق معادله اویلر و همچنین سیگنال تحلیلی استفاده می‌شود، قبل از پرداختن به بحث اصلی ابتدا تعاریف‌ها و اصطلاحات اولیه ذکر می‌شود.

۱-۲ تابع سیگنال تحلیلی

تابع سیگنال تحلیلی مختلط به صورت میدان کل مغناطیسی

۲-۲ تابع اویلر

برای محدوده‌های خارج از توده زیرسطحی، میدان‌های پتانسیل در معادله لاپلاس صدق می‌کنند. از طرفی رابطه لاپلاس برای توده‌های با هندسه خاص همگن است (بلکلی، ۱۹۹۵). تابع‌های همگن نیز در معادله اویلر صدق می‌کنند (تامسون، ۱۹۸۲؛ بلکلی، ۱۹۹۵، راوات، ۱۹۹۶). شکل سه‌بعدی معادله اویلر به صورت رابطه (۵) نوشته می‌شود:

$$\begin{aligned} x \frac{\partial T}{\partial x} + y \frac{\partial T}{\partial y} + z \frac{\partial T}{\partial z} + \eta T = \\ x_0 \frac{\partial T}{\partial x} + y_0 \frac{\partial T}{\partial y} + z_0 \frac{\partial T}{\partial z} \eta b, \end{aligned} \quad (5)$$

که در آن (x, y, z) مختصات نقطه اندازه‌گیری، (x_0, y_0, z_0) مختصات موقعیت توده زیرسطحی، b میدان مغناطیسی ناحیه‌ای منطقه برداشت و η شاخص ساختاری است که نرخ میرایی بی‌亨جاري مغناطیسی در نقطه مشاهده‌ای را نسبت به افزایش فاصله از منبع نشان می‌دهد. شاخص ساختاری پارامتری است که هندسه و نوع توده زیرسطحی را مشخص می‌کند. برای مثال در مورد مدل همبُری (کنتاکت) $\eta=0$ ، مدل دایک قائم و یا لبه سیل $\eta=1$ ، برای مرکز استوانه افقی یا قائم $\eta=2$ و برای کره $\eta=3$ در نظر گرفته می‌شود (تامسون، ۱۹۸۲؛ رید و همکاران، ۱۹۹۰).

۳-۲ تلفیق دو تابع اویلر و سیگنال تحلیلی

همان‌طور که گفته شد اساس این روش تلفیق دو تابع ویژه سیگنال تحلیلی و اویلر واهمامیخت است که برای این کار مشتق معادله اویلر در تابع سیگنال تحلیلی جای‌گذاری می‌شود. در نتیجه ابتدا از معادله اویلر نسبت به x ، y و z مشتق گرفته می‌شود که به ترتیب روابط زیر نتیجه می‌شوند:

$$\frac{\partial |A(x, y)|}{\partial y} = \frac{1}{|A(x, y)|} \left\{ \frac{\partial^2 T(x, y)}{\partial y \partial x} \frac{\partial T(x, y)}{\partial x} + \frac{\partial^2 T(x, y)}{\partial y^2} \frac{\partial T(x, y)}{\partial y} + \frac{\partial^2 T(x, y)}{\partial y \partial z} \frac{\partial T(x, y)}{\partial z} \right\}$$

$$\frac{\partial |A(x, y)|}{\partial z} = \frac{1}{|A(x, y)|} \left\{ \frac{\partial^2 T(x, y)}{\partial z \partial x} \frac{\partial T(x, y)}{\partial x} + \frac{\partial^2 T(x, y)}{\partial z \partial y} \frac{\partial T(x, y)}{\partial y} + \frac{\partial^2 T(x, y)}{\partial z^2} \frac{\partial T(x, y)}{\partial z} \right\}$$

$$|A_n^y(x, y)| = \sqrt{\left(\frac{\partial \phi_n^y}{\partial x} \right)^2 + \left(\frac{\partial \phi_n^y}{\partial y} \right)^2 + \left(\frac{\partial \phi_n^y}{\partial z} \right)^2} = \frac{\partial^n}{\partial y^n} (|A(x, y)|), \quad (4)$$

$$|A_n^x(x, y)| = \sqrt{\left(\frac{\partial \phi_n^x}{\partial x} \right)^2 + \left(\frac{\partial \phi_n^x}{\partial y} \right)^2 + \left(\frac{\partial \phi_n^x}{\partial z} \right)^2} = \frac{\partial^n}{\partial x^n} (|A(x, y)|),$$

$$|A_n^z(x, y)| = \sqrt{\left(\frac{\partial \phi_n^z}{\partial x} \right)^2 + \left(\frac{\partial \phi_n^z}{\partial y} \right)^2 + \left(\frac{\partial \phi_n^z}{\partial z} \right)^2} = \frac{\partial^n}{\partial z^n} (|A(x, y)|),$$

که در آن، منظور از بالانویس Z مشتق قائم میدان کل است.

دامنه سیگنال تحلیلی، AAS و مشتقهای مرتبه بالاتر آن از چندین راه قابل محاسبه است. مشتقهای افقی مستقیماً از روی داده‌های مغناطیسی و با استفاده از روش اختلاف محدود (برای مثال فیلتر تفاضل 3×3) قابل محاسبه است. همچنین هر دو مشتق قائم و افقی را می‌توان در حوزه بسامد و با استفاده از تبدیل فوریه سریع (FFT) محاسبه کرد (بلکلی، ۱۹۹۵).

حال طرفین روابط فوق را به توان دو می‌رسانیم و با هم جمع می‌کنیم و از معادله حاصل جذر می‌گیریم:

$$\begin{aligned} z_0 & \left(\sqrt{\left(\frac{\partial^2 T}{\partial z \partial x} \right)^2 + \left(\frac{\partial^2 T}{\partial z \partial y} \right)^2 + \left(\frac{\partial^2 T}{\partial z^2} \right)^2} \right)_{x=x_0, y=y_0} \\ & = (\eta+1) \left(\sqrt{\left(\frac{\partial T}{\partial x} \right)^2 + \left(\frac{\partial T}{\partial y} \right)^2 + \left(\frac{\partial T}{\partial z} \right)^2} \right)_{x=x_0, y=y_0} \quad (12) \end{aligned}$$

طرف راست رابطه فوق دامنه سیگنانال تحلیلی ساده ($|AAS_0|$) و طرف چپ آن مشتق قائم مرتبه اول سیگنانال تحلیلی ($|AAS_1|$) است. بنابراین رابطه (12) را می‌توان به شکل زیر بازنویسی کرد:

$$z_0 |AAS_1|_{x=x_0, y=y_0} = -(\eta+1) |AAS_0|_{x=x_0, y=y_0} \quad (13)$$

رابطه (13) یانگر این مطلب است که عمق یک منع بی‌هنگاری مغناطیسی را می‌توان براساس نسبت بین $|AAS_1|$ و $|AAS_0|$ در نقطه روی مرکز منبع برآورد کرد. برای مثال در مورد توده‌های با شاخص ساختاری مشخص چهار رابطه زیر از رابطه نهایی (13) قابل استخراج است:

$$z_0 = \left| \frac{AAS_0}{AAS_1} \right|_{x=x_0, y=y_0} \quad \text{for contact with } \eta=0 \quad (14a)$$

$$z_0 = 2 \left| \frac{AAS_0}{AAS_1} \right|_{x=x_0, y=y_0} \quad \text{for Dyke with } \eta=1 \quad (14b)$$

$$z_0 = 3 \left| \frac{AAS_0}{AAS_1} \right|_{x=x_0, y=y_0} \quad \text{for Cylinder with } \eta=2 \quad (14c)$$

$$z_0 = 4 \left| \frac{AAS_0}{AAS_1} \right|_{x=x_0, y=y_0} \quad \text{for Sphere with } \eta=3 \quad (14d)$$

بنابراین، اگر هندسه توده شناخته شده فرض شود، با استفاده از مشتق معادله اویلر در سه امتداد و جای گذاری در عبارت سیگنانال تحلیلی می‌توان رابطه کلی و تعمیم

$$\begin{aligned} (x-x_0) \frac{\partial^2 T}{\partial x^2} + (y-y_0) \frac{\partial^2 T}{\partial y \partial x} + \\ (z-z_0) \frac{\partial^2 T}{\partial z \partial x} = -(\eta+1) \frac{\partial T}{\partial x}, \end{aligned} \quad (6)$$

$$\begin{aligned} (x-x_0) \frac{\partial^2 T}{\partial x \partial y} + (y-y_0) \frac{\partial^2 T}{\partial y^2} + \\ (z-z_0) \frac{\partial^2 T}{\partial z \partial y} = -(\eta+1) \frac{\partial T}{\partial y}, \end{aligned} \quad (7)$$

$$\begin{aligned} (x-x_0) \frac{\partial^2 T}{\partial x \partial z} + (y-y_0) \frac{\partial^2 T}{\partial y \partial z} + \\ (z-z_0) \frac{\partial^2 T}{\partial z^2} = -(\eta+1) \frac{\partial T}{\partial z}, \end{aligned} \quad (8)$$

با یک نگاه به روابط فوق متوجه می‌شویم که اگر عبارت‌های طرف راست آنها را به توان دو برسانیم و با هم جمع کنیم، معادله نهایی رابطه سیگنانال تحلیلی است اما طرف چپ را چون از سه جمله تشکیل شده نمی‌توان به راحتی به توان رساند، جدا از اینکه با این کار معادله نهایی پیچیده‌تر خواهد شد. به همین منظور یک فرض ساده کننده را به کار می‌گیریم بدین صورت که فرض می‌کنیم موقعیت نقطه مشاهده‌ای دقیقاً در بالای مرکز توده قرار دارد (یعنی نقاط (x, y, z) بر هم منطبق هستند) به عبارت دیگر $x = x_0$ و $y = y_0$. نقطه z_0 را نیز بر سطح تراز (سطح زمین) در نظر می‌گیریم یعنی $z_0 = 0$. با اعمال دو فرض فوق در روابط (6) تا (8) به روابط ساده شده زیر می‌رسیم:

$$z_0 \left(\frac{\partial^2 T}{\partial z \partial x} \right)_{x=x_0, y=y_0} = -(\eta+1) \left(\frac{\partial T}{\partial x} \right)_{x=x_0, y=y_0} \quad (9)$$

$$z_0 \left(\frac{\partial^2 T}{\partial z \partial y} \right)_{x=x_0, y=y_0} = -(\eta+1) \left(\frac{\partial T}{\partial y} \right)_{x=x_0, y=y_0} \quad (10)$$

$$z_0 \left(\frac{\partial^2 T}{\partial z^2} \right)_{x=x_0, y=y_0} = -(\eta+1) \left(\frac{\partial T}{\partial z} \right)_{x=x_0, y=y_0} \quad (11)$$

می‌توان به طور هم‌زمان و با استفاده از سیگنال تحلیلی و مشتق قائم مرتبه اول و دوم آن در نقطه روی مرکز برآورد کرد. نقطه روی مرکز نیز از روی ییشینه مقدار سیگنال تحلیلی تعیین می‌شود. یکی از مشکلات معادله اویلر مجھول بودن نوع شاخص ساختاری و در نتیجه لزوم برآورد آن در خلال برآورد عمق توده است. به عبارت دیگر با این مشکل امکان برآورد هم‌زمان عمق و نوع توده وجود ندارد و معمولاً ابتدا نوع توده (پارامتر شاخص ساختاری) برآورد و در معادله اویلر جای‌گذاری و سپس اقدام به برآورد عمق توده می‌شود. مسلم است هرگونه اشتباه و خطأ در برآورد شاخص ساختاری، باعث بروز خطأ در نتایج برآورد عمق خواهد شد. در نتیجه راه حل این مشکل برآورد هم‌زمان شاخص ساختاری و عمق توده است. یکی از این روش‌ها تلفیق معادله اویلر و سیگنال تحلیلی است که هدف اصلی این مقاله نیز هست.

۳ کاربرد روی داده‌های مغناطیسی مصنوعی

به منظور بررسی کارایی روش موردنظر، در این قسمت آن را روی داده‌های مغناطیسی مدل‌های مصنوعی دو و سه‌بعدی به کار می‌بریم. در مثال اول روش پیش‌گفته روی داده‌های مغناطیسی دو‌بعدی مدل دایک نازک به کار برد شده است. توده دایک در عمق ۶ متری از سطح زمین قرار دارد و ضخامت آن ۶ متر در نظر گرفته شده است. مدل فقط دارای مغناطیس القابی باشدت 45000 نانوتسلا و زاویه میل و انحراف به ترتیب برابر با 70 و 5 درجه است (شکل ۱-الف). شکل ۱-ب منحنی پاسخ مغناطیسی دایک نازک را نشان می‌دهد که از یک دنباله مثبت و یک دنباله منفی تشکیل شده است و بینگر مایل بودن بردار مغناطیس آن است. شکل ۱-ج مربوط به سیگنال تحلیلی و مشتق قائم

یافته‌ای را برای برآورد عمق توده‌های مغناطیسی به دست آورد. روابط مشابهی از سوی محققان گوناگون توسعه داده شده که می‌توان از آنها برای برآورد عمق توده‌های مغناطیسی استفاده کرد (سالم و همکاران، ۲۰۰۲؛ باستانی و پدرسون، ۲۰۰۱). اما مزیت اصلی روش عرضه شده در این تحقیق آن است که با جای‌گذاری مشتق اویلر درتابع سیگنال تحلیلی به معادله نهایی و کلی خواهیم رسید و امکان برآورد نوع توده و عمق تا بالای آن در نقاط روی مرکز میسر می‌شود. رابطه نهایی از این جهت یک رابطه کلی تلقی می‌شود که با وارد کردن عدد شاخص ساختاری مدل‌های گوناگون، می‌توان رابطه برآورد عمق مربوط به آنها را به دست آورد. مزیت دیگر این روش آن است که فقط به توده‌های با هندسه خاص و شاخص ساختاری صحیح محدود نیست و می‌توان آن را برای توده‌های با هندسه‌های متفاوت به کار برد (راوات، ۱۹۹۶).

اگر باز دیگر از معادله اویلر نسبت به x و y مشتق بگیریم و مراحل قبل را مجدداً تکرار کنیم به رابطه زیر می‌رسیم:

$$z_0 |AAS_2|_{x=x_0, y=y_0} = -(\eta + 2) |AAS_1|_{x=x_0, y=y_0} \quad (15)$$

که در آن، $|AAS_2|$ مشتق قائم مرتبه دوم سیگنال تحلیلی است. با جای‌گذاری رابطه (۱۵) در رابطه (۱۳) روابط زیر نتیجه می‌شود:

$$\eta = \left(\frac{2|AAS_1|^2 - |AAS_2||AAS_0|}{|AAS_2||AAS_0| - |AAS_1|^2} \right)_{x=x_0, y=y_0} \quad (16)$$

$$Z_0 = \left(\frac{|AAS_1||AAS_0|}{|AAS_2||AAS_0| - |AAS_1|^2} \right)_{x=x_0, y=y_0} \quad (17)$$

روابط فوق نشان می‌دهند که هر دو پارامتر شاخص ساختاری و عمق بی‌هنجاری مغناطیسی را

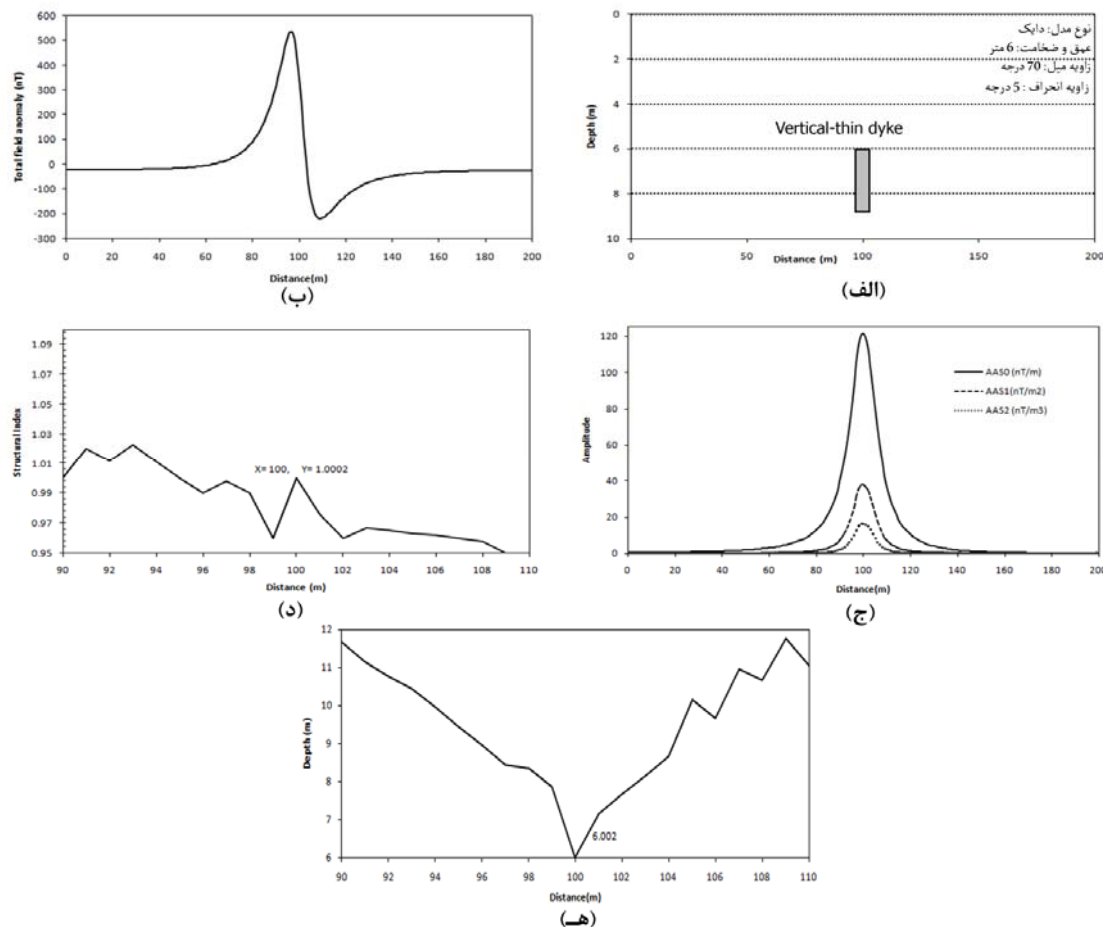
نمایش گرافیکی نتایج حاصل از برآورد عمق و نوع توده مربوط به مثال مصنوعی دوم را نشان می‌دهد. مثال سوم، کاربرد سیگنال تحلیلی و مشتقات آنرا در تعیین حدود توده‌های زیرسطحی نشان می‌دهد. مدل مصنوعی از سه توده منشوری با سطح مقطع مستطیل شکل تشکیل شده که در عمق‌های مختلف قرار دارند. شکل ۴-الف پاسخ مغناطیسی به همراه سطح مقطع سه توده منشوری را نشان می‌دهد. پارامترهای فیزیکی مورد استفاده در تولید پاسخ مغناطیسی آنها در جدول ۲ آمده است. شکل ۴-ب مربوط به سیگنال تحلیلی متداول (ساده) داده‌های مغناطیسی شکل ۴-الف است. در این شکل بیشینه مقدار سیگنال تحلیلی روی توده‌ها قرار گفته اما وجود همپوشانی بین سه توده سبب شده تا حدود توده از هم تفکیک نشود. شکل ۴-ج نقشه مشتق قائم سیگنال تحلیلی قسمت (ب) را نشان می‌دهد. در این شکل حدود دو توده منشوری کم‌عمق‌تر مشخص شده اما موقعیت توده کره همچنان مخفی است. شکل ۴-د نقشه مشتق قائم مرتبه دوم سیگنال تحلیلی را نشان می‌دهد که در آن موقعیت هر سه توده مولد با دقت قابل قبولی بر جسته شده است.

جدول ۱. نتایج برآورد دو پارامتر فیزیکی عمق و شاخص ساختاری توده‌های استوانه قائم مدل مصنوعی مثال دوم.

شاخص ساختاری	عمق (متر)	موقعیت افقی (متر)	نوع توده	استوانه قائم
۲	۲۰۲/۳۴۵	۵۰۰	A	استوانه قائم
۱/۹۸	۳۰۹/۵	۱۰۰۰	B	استوانه قائم
۲/۰۵	۲۰۱/۵۴۳	۱۵۰۰	C	استوانه قائم

مرتبه اول و دوم آن می‌باشد. در حالت دو بعدی منحنی سیگنال تحلیلی صرفنظر از نوع توده و امتداد مغناطیسی شدگی آن تابع زنگوله شکلی را تشکیل می‌دهد که بیشینه مقدار آن روی توده مولد قرار می‌گیرد. در این شکل نقطه بیشینه هر سه منحنی بر هم منطبق و موقعیت توده دایک ($x=100$) را نشان می‌دهد که موقعیت واقعی آن در شکل ۱-الف را کاملاً تأیید می‌کند. شکل ۱-د و ۱-ه به ترتیب برآورد شاخص ساختاری و عمق توده دایک را نشان می‌دهد که بحسب فاصله از مبدأ نیم رخ داده شده است. در نقطه $x=100$ که موقعیت افقی توده است مقدار شاخص ساختاری توده $1/100^2$ و عمق آن $6/00^2$ متر برآورد شده که مقادیر حقیقی معادل (به ترتیب 1 و 6 متر) در تولید بی‌هنگاری مغناطیسی آن را تأیید می‌کند.

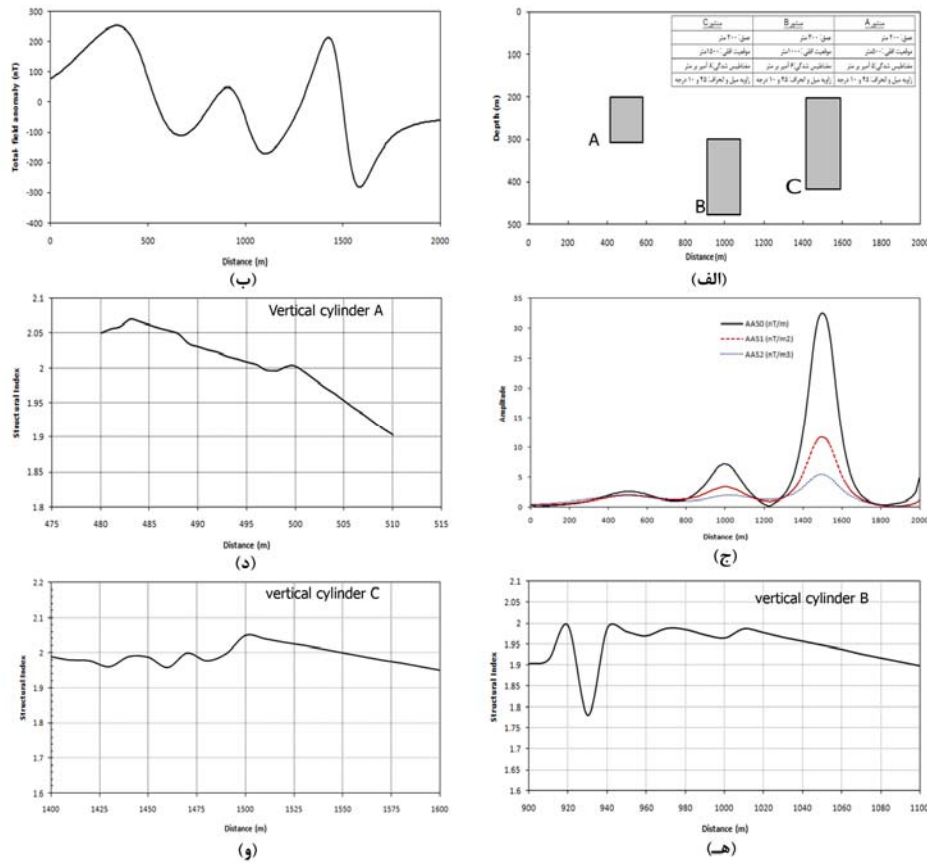
مثال دوم مربوط به کاربرد روش روی مدل مصنوعی مشتمل از سه توده استوانه قائم است که مقطع آنها در شکل ۲-الف نشان داده شده است و به ترتیب در موقعیت‌های افقی 500 ، 1000 و 1500 متری قرار دارند. استوانه قائم A و C در عمق 200 متری و استوانه B در عمق 300 متری از سطح زمین قرار دارد. شدت مغناطیسی شدگی توده‌های A و C به ترتیب 5 و 8 آمپر بر متر فرض شده است. زوایای میل و انحراف مغناطیسی شدگی هر سه توده یکسان و برابر با 45 و 10 درجه در نظر گرفته شده است. پاسخ مغناطیسی سه توده در شکل ۲-ب آمده است. نمودار سیگنال تحلیلی توده و مشتقات آن در شکل ۲-ج آمده است. در این شکل نقاط بیشینه سیگنال تحلیلی منطبق بر توده‌های استوانه قائم است. نتیجه برآورد شاخص ساختاری توده‌های استوانه قائم A، B و C به ترتیب در شکل‌های ۲-د، ۲-ه و ۲-و آمده است. جدول ۱ نتایج عددی برآورد پارامترهای عمق و شاخص ساختاری توده‌ها را نشان می‌دهد. شکل ۳



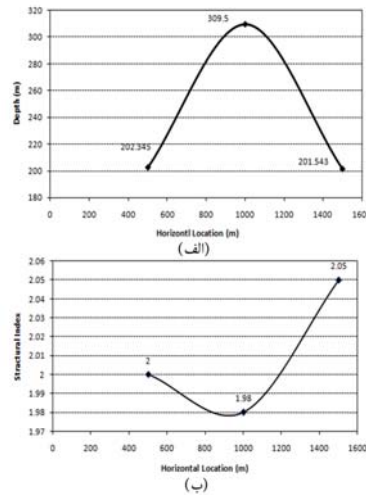
شکل ۱. کاربرد روش روی داده‌های مغناطیسی مصنوعی دوپُعده توده دایک نازک در موقعیت افقی ۱۰۰ متر و در عمق ۱۰۰ متری از سطح زمین. (ب) پاسخ مغناطیسی توده دایک به ازای بردار مغناطیس شدگی با شدت ۴۵۰۰۰ نانوتسلا و زاویه میل و انحراف ۷۰ و ۵ درجه. (ج) منحنی سیگنال تحلیلی و مشتقات قائم مرتبه اول و دوم داده‌های قسمت الف. بیشینه سیگنال تحلیلی به صورت تابع زنگوله‌ای شکل روی موقعیت دایک قرار گرفته است. (د) منحنی برآورد شاخص ساختاری توده دایک در مقابل فاصله از مبدأ نیم‌رخ. (ه) نمودار برآورد عمق توده دایک در مقابل فاصله از مبدأ نیم‌رخ. مقادیر عمق و شاخص ساختاری برآورد شده به ترتیب ۶۰۰۲ متر و ۱/۰۰۲ تعیین شده است.

جدول ۲. پارامترهای فیزیکی مورد استفاده در توده‌های مولد مدل مصنوعی مثال سوم.

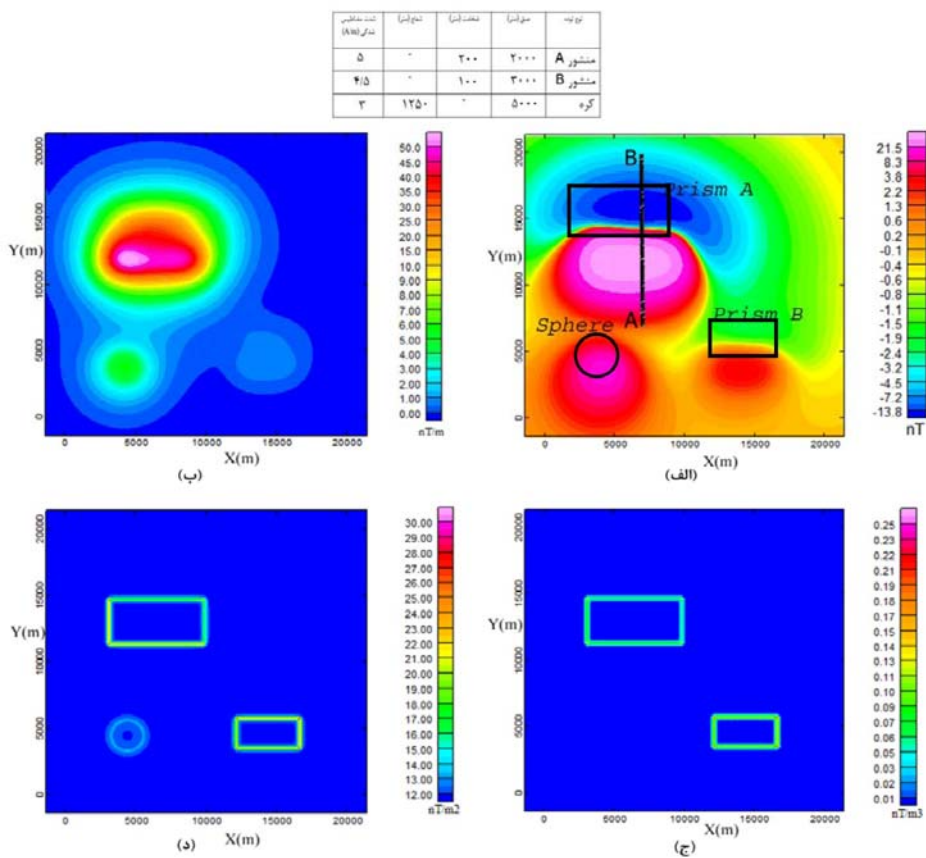
نوع توده (متر)	موقعیت طولی (X) (متر)	موقعیت عرضی (Y) (متر)	ضخامت (متر)	عمق (متر)	شعاع (متر)	شدت مغناطیس شدگی (A/m)
مشور A	۸۰۰۰	۱۵۰۰۰	۲۰۰۰	۲۰۰۰	۲۰۰	۵
مشور B	۱۵۰۰۰	۴۰۰۰	۳۰۰۰	۳۰۰۰	۱۰۰	۴/۵
کره	۳۷۵۰	۳۷۵۰	۵۰۰۰	۱۲۵۰	-	۳



شکل ۲. کاربرد روش روی داده‌های مغناطیسی مصنوعی دو بعدی مدل مصنوعی مشتمل از سه توده استوانه قائم. (الف) مقطع دو بعدی توده‌های استوانه قائم در موقعیت افقی ۵۰۰، ۱۰۰۰ و ۱۵۰۰ متر و در اعماق مختلف. (ب) پاسخ مغناطیسی مدل مصنوعی به ازای شدت مغناطیسی شدگی به ترتیب ۶، ۵، ۴ و ۸ آمپر بر متر و زاویه میل و انحراف ۴۵ و ۱۰ درجه. (ج) منحنی سیگنال تحلیلی و مشتقهای قائم مرتبه اول و دوم داده‌های قسمت (الف). نقاط بیشینه سیگنال تحلیلی به صورت تابع زنگوله‌ای شکل موقعیت توده‌های سه‌گانه را نشان می‌دهد. (د) منحنی برآورد شاخص ساختاری استوانه قائم A در مقابل فاصله از مبدأ نیم‌رخ. (ه) منحنی برآورد شاخص ساختاری استوانه قائم B در مقابل فاصله از مبدأ نیم‌رخ. (و) منحنی برآورد شاخص ساختاری استوانه قائم C در مقابل فاصله از مبدأ نیم‌رخ. جدول ۱ نتایج عددی برآورد عمق و شاخص ساختاری سه توده را نشان می‌دهد.



شکل ۳. نمایش نتایج برآورد عمق و نوع توده مربوط به مدل مصنوعی مثال دوم.



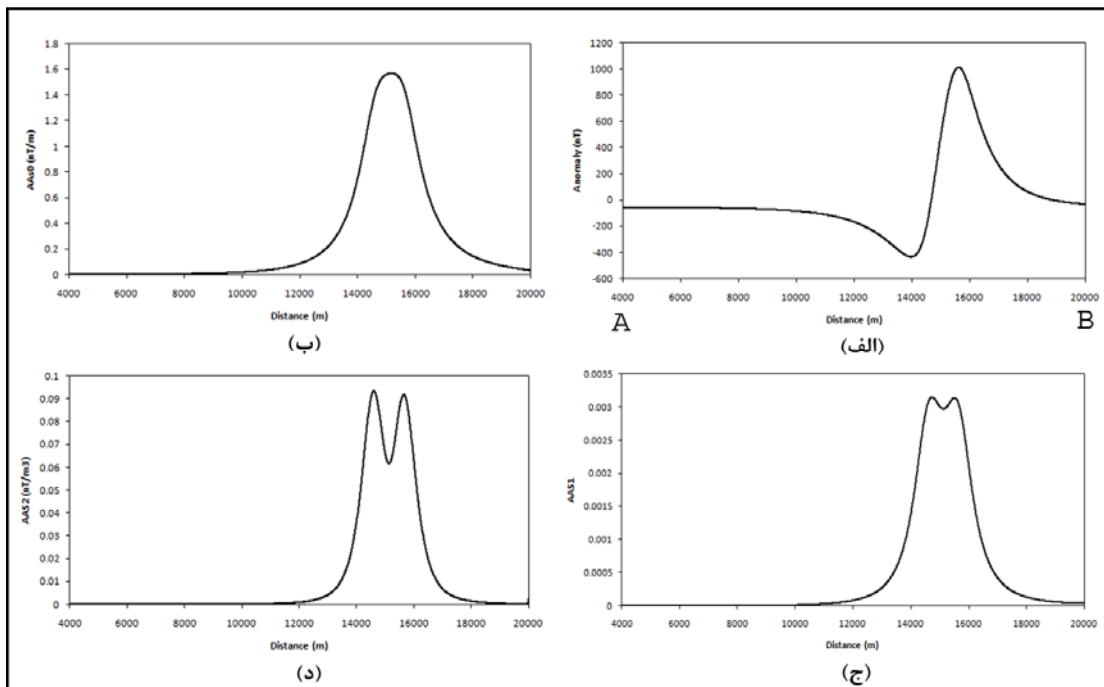
شکل ۴. کاربرد روش روی داده‌های مغناطیسی مصنوعی سه‌بعدی مدل مصنوعی مشتمل از دو توده منشوری و یک توده کره. (الف) پاسخ مغناطیسی مدل مصنوعی به ازاء بردار مغناطیس شدگی باشد ۶۰۰۰۰ نانوتلاسا و زاویه میل و انحراف ۶۵ و ۳ درجه. سطح مقطع توده‌ها با کادر سیاپرنگ مشخص شده است. پارامترهای فیزیکی مورد استفاده در جدول ۲ آمده است. نیم‌رخ AB مقطع شمالی جنوبی مورد استفاده در شکل ۴ را نشان می‌دهد. (ب) نقشه سیگنال تحلیلی داده‌های مغناطیسی قسمت الف. بیشینه سیگنال تحلیلی موقعیت توده‌های سه‌گانه را نشان می‌دهد. اما به علت همپوشانی بین توده‌ها، برآورده مربوط به صورت متداخل است. (ج) نقشه مشتق قائم مرتبه اول داده‌های سیگنال تحلیلی قسمت (ب). در این شکل موقعيت توده‌های منشوری برجسته شده اما کره به علت عمق بیشتر همچنان مخفی است. (د) نقشه مشتق قائم مرتبه دوم سیگنال تحلیلی داده‌های قسمت الف. در این شکل هر سه توده نسبت به اطراف برجسته شده است.

شکل ۴
شناخت ساختاری توده منشوری
به ترتیب ۱۹۸۹/۸۴ و ۱/۸۸۹۳ متر و ۱۹۸۹/۱ متر
در مثال چهارم کارایی تابع سیگنال تحلیلی و مشتقات
آن در تعیین توده‌های زیرسطحی ترکیبی بررسی شده
است. در این مثال علاوه بر مشتق قائم مشتق افقی سیگنال
تحلیلی نیز محاسبه شده است. مدل مصنوعی از سه توده
منشوری A، B و C تشکیل شده که پارامترهای فیزیکی
آن در جدول ۳ آمده است. شکل ۶-الف پاسخ مغناطیسی
توده‌ها را نشان می‌دهد. زاویه میل و انحراف بردار

همچنین در این مثال به منظور آزمون کارایی روش در
مورد داده‌های سه‌بعدی مقطع شمالی – جنوبی AB از
توده منشوری A تهیه شد که در شکل ۵-الف آمده است.
شکل‌های ۵-الف، ۵-ب و ۵-ج به ترتیب نمودار سیگنال
تحلیلی و مشتقات قائم مرتبه اول و دوم داده‌های مقطع
(الف) را نشان می‌دهد. در این شکل‌ها بیشینه مقدار
سیگنال تحلیلی لبه‌های توده منشوری را نشان می‌دهد
به طوری که با افزایش مرتبه مشتق، دقت آن بهبود می‌یابد.
با توجه به روش مورد استفاده در این مقاله، عمق و

سیگنال تحلیلی قسمت ب را نشان می‌دهد که در آن موقعیت توده‌ها با دقت زیادی، نسبت به اطراف بر جسته شده است. شکل‌های ۶-۵ و ۶-۶ به ترتیب نقشه مشتق افقی سیگنال تحلیلی نسبت به امتداد x و Y را نشان می‌دهد که در آنها لبه‌های قائم و افقی توده‌های منشوری تعیین شده است.

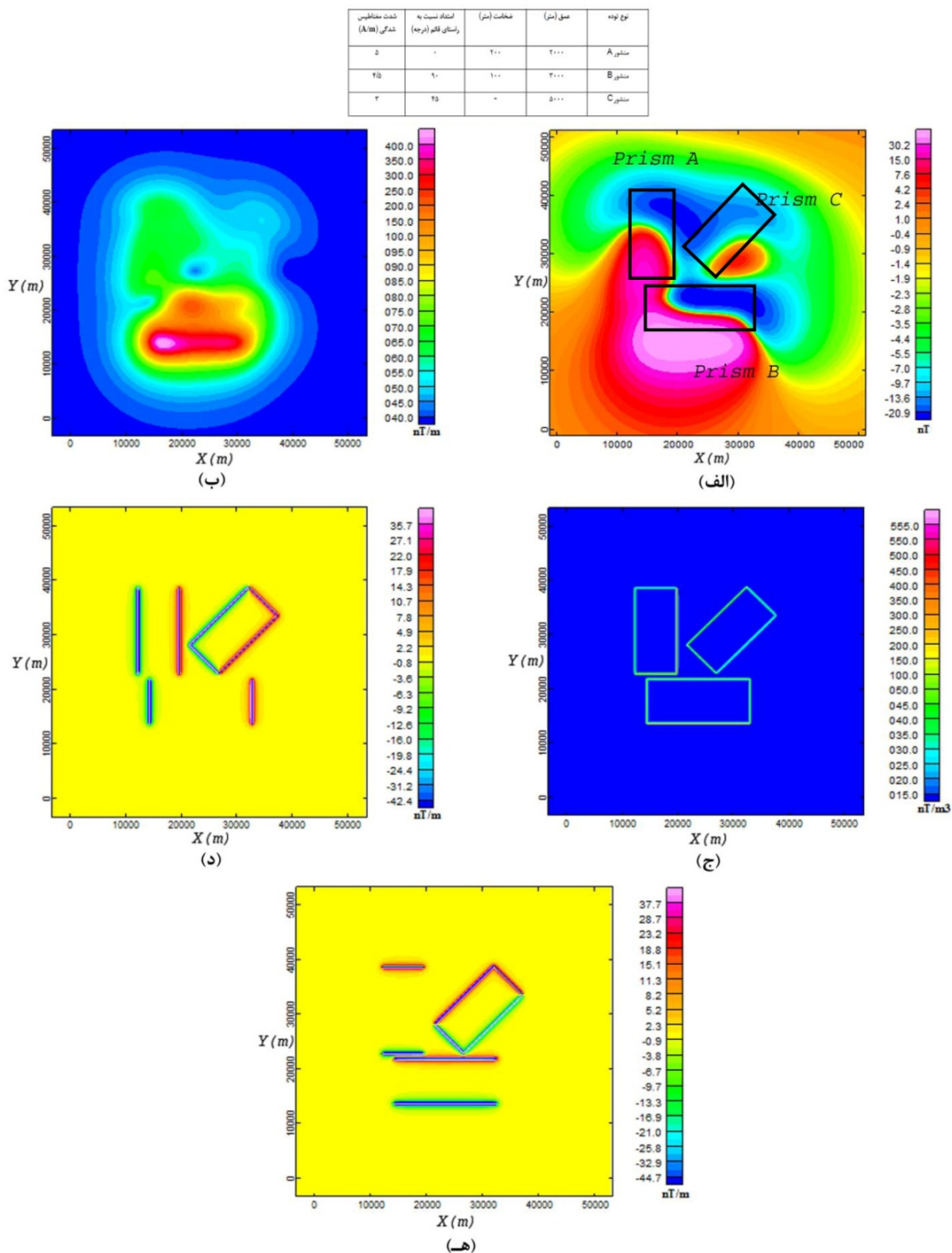
مغناطیس شدگی توده‌ها به ترتیب ۶۵ و ۲۰ درجه فرض شده است. شکل ۶-۷ نقشه سیگنال تحلیلی ساده داده‌های مغناطیسی قسمت الف را نشان می‌دهد. در این شکل به دلیل همپوشانی توده‌ها که عمدتاً از فاصله و امتداد قرارگیری آنها نتیجه می‌شود، مرز توده‌ها متداخل تعیین شده است. شکل ۶-۷ج نقشه مشتق قائم مرتبه دوم



شکل ۵. کاربرد روش روی داده‌های مغناطیسی مصنوعی دو بعدی مقطع شمالی - جنوبی AB شکل ۳. (الف) نیمرخ مغناطیسی مقطع مغناطیسی پیش‌گفته به طول ۲۰ کیلومتر. (ب) منحنی سیگنال تحلیلی داده‌های مغناطیسی قسمت الف. (ج) منحنی مشتق قائم مرتبه اول سیگنال تحلیلی قسمت (ب). در این شکل بیشینه مقدارتابع لبه‌های توه منشوری را مشخص می‌کند. (د) منحنی مشتق قائم مرتبه دوم سیگنال تحلیلی قسمت (ب). نتایج برآورد عمق و شاخص ساختاری مقطع AB در خروجی برنامه رایانه‌ای تهیه شده آمده است که به ترتیب ۱۹۸۹/۸۴ متر و ۱/۸۸۹۳ برآورد شده است.

جدول ۳. پارامترهای فیزیکی مورد استفاده در مدل مصنوعی مثال چهارم.

نوع توده	موقعیت طولی (X) (متر)	موقعیت عرضی (Y) (متر)	عمق (مترا)	ضخامت (مترا)	امتداد نسبت به راستای قائم (درجه)	شدت مغناطیس شدگی (A/m)
منشور A	۱۸۰۰۰	۳۰۰۰۰	۲۰۰۰	۲۰۰	۰	۵
منشور B	۲۵۰۰۰	۱۵۰۰۰	۳۰۰۰	۱۰۰	۹۰	۴/۰
منشور C	۳۰۰۰۰	۳۰۰۰۰	۵۰۰۰	-	۴۵	۳



شکل ۶. کاربرد روش روی داده‌های مغناطیسی مصنوعی مشتمل از سه توده منشوری. پارامترهای فیزیکی مورد استفاده در تولید پاسخ مغناطیسی مدل در جدول ۳ آمده است. (الف) پاسخ مغناطیسی مدل مصنوعی به ازای بردار مغناطیس شدگی با شدت ۶۰۰۰۰ نانوتسللا و زاویه میل و انحراف ۶۵ و ۲۰ درجه. سطح مقطع توده‌ها با کادر سیامونگ مشخص شده است. (ب) نقشه سیگنال تحلیلی داده‌های مغناطیسی قسمت الف. پیشینه سیگنال تحلیلی موقعیت توده‌های سه گانه را نشان می‌دهد. اما به علت هم‌پوشانی بین توده‌ها در نتیجه فاصله و امتداد آنها، برآورده مرز به صورت متداخل است. (ج) نقشه مشتق قائم مرتبه دوم داده‌های سیگنال تحلیلی قسمت ب. در این شکل موقعیت توده‌های منشوری بر جسته شده است. (د) نقشه مشتق افقی سیگنال تحلیلی داده‌های قسمت الف نسبت به محور X در این شکل مرزهای قائم توده بر جسته شده است. (ه) نقشه مشتق افقی سیگنال تحلیلی داده‌های قسمت الف نسبت به محور Y. در این شکل مرزهای افقی توده بر جسته شده است.

تحلیلی تنها منجر به شناسایی دایک‌های باشد زیاد شود و بقیه باشد کمتر که ممکن است از لحاظ زمین‌شناسی مورد توجه باشند پوشیده بمانند. شکل ۷-ج نقشه مشتق افقی کل داده‌های مغناطیسی قسمت الف را نشان می‌دهد. در این شکل نیز بیشینه مقادیر موقعیت دایک‌ها را مشخص می‌کند اما همچنان، تعادل بین خروجی آن وجود ندارد. شکل ۷-د نقشه مشتق قائم مرتبه دوم سیگنال تحلیلی را نشان می‌دهد. در این شکل با ایجاد تعادل بین خروجی فیلتر حدود هر دو دایک‌های کم شدت و پرشدت نسبت به اطراف بر جسته شده است.

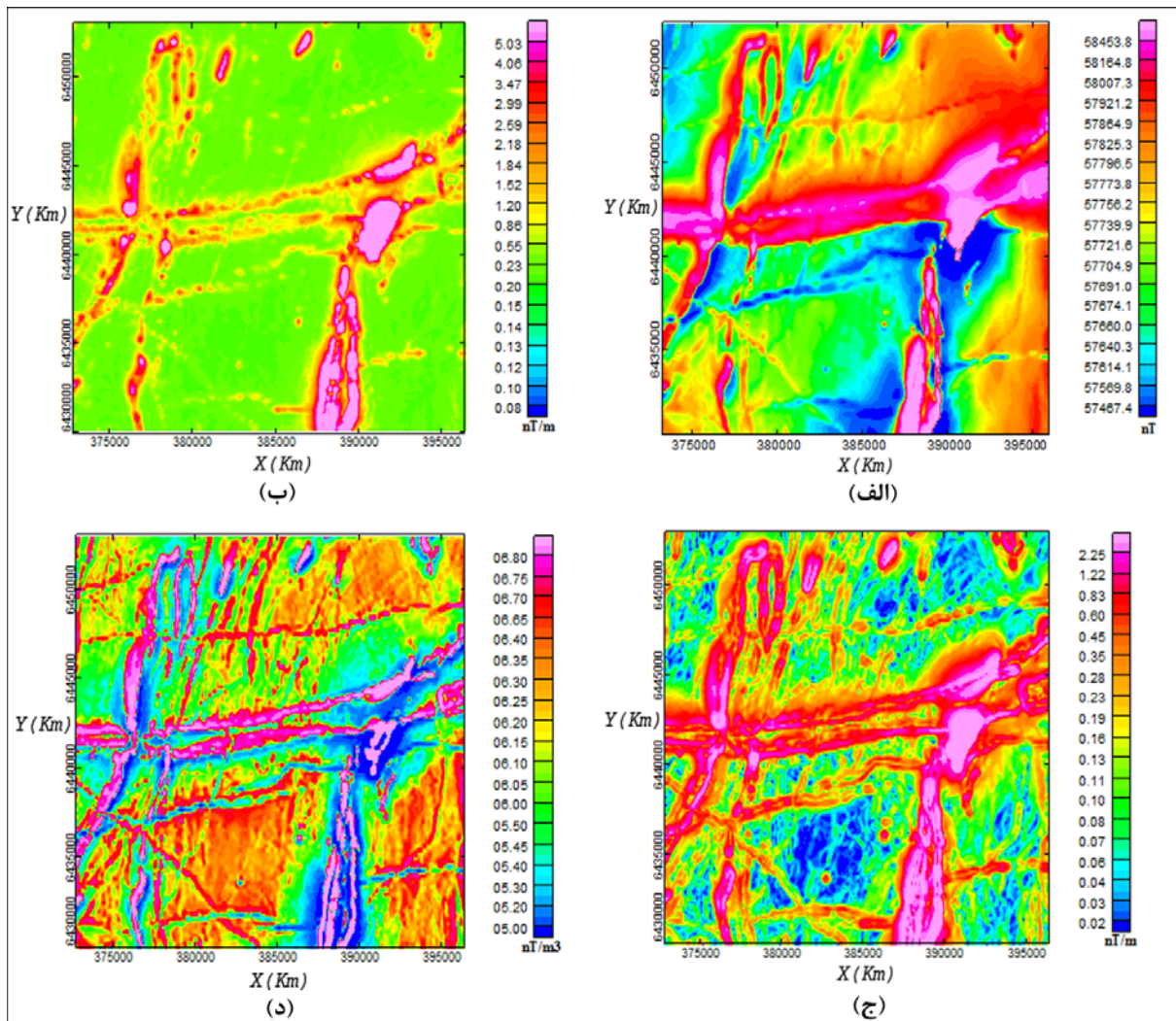
مثال دوم مربوط به یک نیم‌رخ مغناطیسی‌سنگی معدن سنگ آهن مرکزی شهرستان بافق است. این معدن در ۱۰۰ کیلومتری استان بزد قرار دارد. شکل ۸-الف داده‌های مغناطیسی نیم‌رخ پیش‌گفته به طول ۱ کیلومتر را نشان می‌دهد که دارای یک قطب مثبت و یک قطب منفی غالب است. علاوه بر این دو قطب، در نقطه وسط این نیم‌رخ نیز یک بی‌هنجاری مشاهده می‌شود. چون این نیم‌رخ به صورت زمینی برداشت شده است، نوفه‌های بسامد زیاد بسیاری، داده‌ها را آغشته کرده است. به همین منظور قبل از اعمال روش، داده‌ها تا ارتفاع ۱۲ متری ادامه فراسو شدند که نتایج در شکل ۸-الف آمده است. شکل ۸-ب منحنی‌های سیگنال تحلیلی و مشتقات آن را نشان می‌دهد که همان‌طور که انتظار می‌رفت دارای سه نقطه بیشینه (سه قله) است. نقاط بیشینه از سمت راست با حروف A، B و C نام‌گذاری شده است. شکل‌های ۸-ج و ۸-د مربوط به نتایج برآورد عمق و شاخص ساختاری توده زیر‌سطحی با استفاده از روش پیش‌گفته است که در نقاط بیشینه سیگنال تحلیلی قرار دارد. بر طبق نتایج حاصل، عمق توده در دو نقطه B و C، برابر با ۶۰ متر

۴ کاربرد روی داده‌های مغناطیسی واقعی

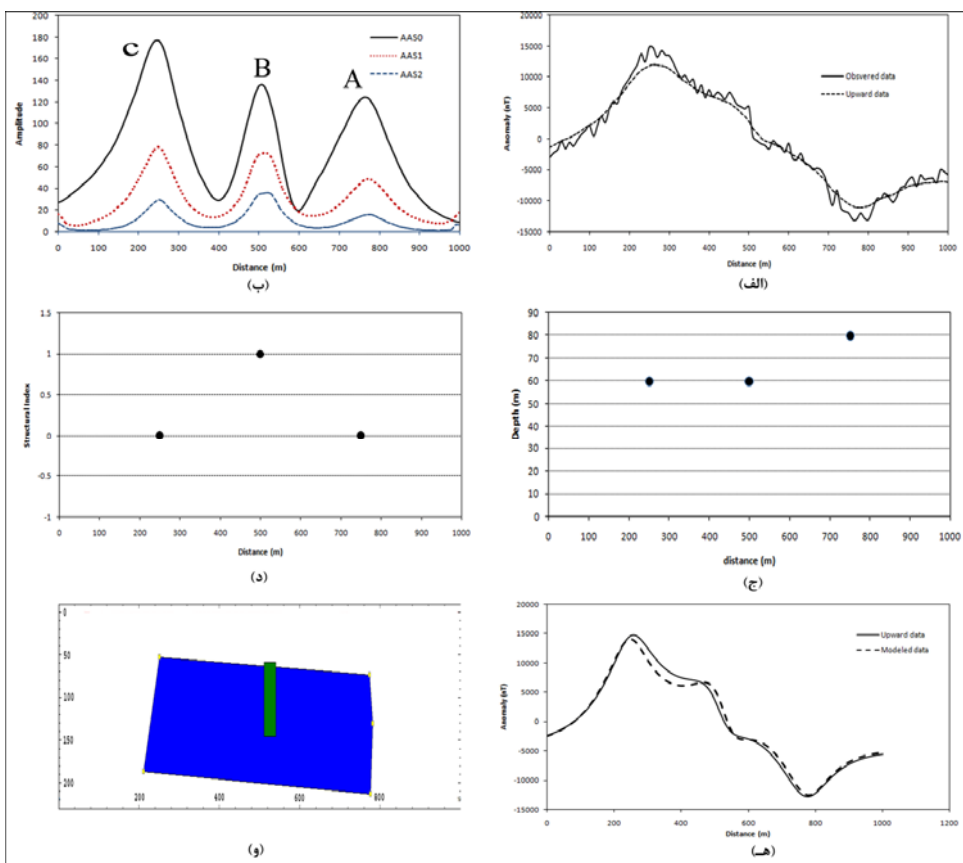
در این قسمت دو مثال واقعی از کاربرد روش پیش‌گفته، روی داده‌های واقعی در تفسیر بی‌هنجاری‌های مغناطیسی‌سنگی در حالت‌های دو و سه‌بعدی آورده شده است. مثال اول از داده‌های مغناطیسی هوایی کشور استرالیای غربی انتخاب شده است. هدف از عرضه این مقاله، بررسی کارایی سیگنال تحلیلی مرتبه زیاد در تعیین توده‌های زیر‌سطحی است. داده‌های مغناطیسی هوایی مربوط به فلات ییلگارن (Yilgranplateau) که در ارتفاع ۲ کیلومتری از سطح زمین و با خطوط پرواز ۱/۵ کیلومتری تهیه شده است که در آن از مغناطیسی‌سنگ بخار سزیم برای برداشت داده‌های مغناطیسی‌سنگی استفاده شده است. فلات ییلگارن در واقع یک کراتون بزرگ است. این کراتون به مرور زمان و با خروج توده‌های آتش‌نشانی و ایجاد زون‌های فرورانش، رشد کرده است. سن این منطقه آرکن پسین است. منطقه مورد بررسی شامل چند دایک با روند تقریبی شرقی – غربی است که به صورت منفی یا مثبت مغناطیسی شده‌اند. بی‌هنجاری مغناطیسی با روند شمالی – جنوبی مربوط به کمرنگ‌گرین استون است. دایک‌های متعدد این منطقه همگی سن پالوزوئیک دارند. دایک بزرگ‌تر مرکز نقشه دایک جیمبرلانا نام دارد. زاویه میل بردار مغناطیسی زمین ۶۵-۷۰ درجه اندازه‌گیری شده است. شکل ۷-الف نقشه مغناطیسی منطقه مورد بررسی را نشان می‌دهد. بی‌هنجاری‌های مغناطیسی کشیده به دلیل وجود دایک‌های منطقه است که در اکثر موارد ذخایر زیرکنیم در آنها یافته شده است. شکل ۷-ب نقشه سیگنال تحلیلی داده‌های مغناطیسی قسمت الف را نشان می‌دهد. ویژگی بارز این منطقه وجود دایک‌هایی است که باشد های متفاوت مغناطیسی شده‌اند. به عبارت دیگر دامنه تغییرات شدت مغناطیسی دایک‌ها بسیار گسترده است. این ویژگی سبب می‌شود تا استفاده از سیگنال

از نوع دایک و همبری و اعمق آنها همان اعمق حاصل از روش سیگنال تحلیلی منظور شد. همان طور که مشاهده می شود بین منحنی صحرایی و منحنی نظری مدل، برازش مناسبی ایجاد شده است(شکل ۸-ه). شکل ۸-و مدل حاصل از مدلسازی معکوس را نشان می دهد. مدل آبی رنگ همبری مغناطیسی و توده سبزرنگ دایک است.

و در نقطه A، ۸۰ متر برآورد شده است. همچنین شاخص ساختاری در نقاط A و C، برابر با صفر (از لحاظ نظری معادل همبری مغناطیسی) و در نقطه B، یک (معادل دایک) برآورده است. به منظور صحبت سنگی نتایج، اقدام به مدلسازی معکوس نیمرخ قسمت الف شد. در این راستا نقطه شروع مدلسازی را نتایج حاصل از این روش تشکیل داد؛ بدین ترتیب که توده



شکل ۷. کاربرد روش روی داده های مغناطیس هوایی فلات بیلگارن استرالیای غربی. (الف) نقشه میدان کل مغناطیسی منطقه مورد بررسی به وسعت ۶۴۵×۳۹۵ کیلومتر. بیهودگاری های مغناطیسی نوعاً بدليل وجود دایک های مغناطیسی است. (ب) نقشه سیگنال تحلیلی داده های سمت الف. در این شکل فقط توده های با شدت بالای مغناطیسی برجسته شده اند. (ج) نقشه مشتق افقی کل داده های مغناطیسی قسمت (الف). (د) نقشه مشتق قائم مرتبه دوم سیگنال تحلیلی داده های قسمت (الف). در این شکل با تعادل بین خروجی توده های دایک کم شدت و پرشدت برجسته شده اند.



شکل ۸ کاربرد روش روی نیم‌رخ مغناطیس‌سنگی معدن سنگ آهن مرکزی. (الف) داده‌های مغناطیس‌سنگی زمینی مربوط به بی‌هنجاری مغناطیسی معدن سنگ آهن مرکزی به طول ۱ کیلومتر. (ب) منحنی سیگنال تحلیلی و مشتقات آن. در این شکل سیگنال تحلیلی در سه نقطه پیک نشان داده است. (ج) نتیجه برآورد عمق نیم‌رخ قسمت (الف). (د) نتیجه برآورد شاخص ساختاری نیم‌رخ قسمت (الف). (ه) نتیجه مدل‌سازی معکوس نیم‌رخ قسمت (الف) با استفاده از نتایج حاصل از روش طرح شده در مقاله. (و) مدل زمین‌شناسی حاصل از اجرای مدل‌سازی معکوس.

دقت زیادی نسبت به اطراف مشخص می‌کند. همچنین نتایج آن به صورت متعادل است که باعث می‌شود تا توده‌های با شدت مغناطیس‌شدگی کم در بین توده‌های قوی‌تر پوشیده نشوند. این روش روی داده‌های مغناطیس‌سنگی مصنوعی در حالت‌های دو و سه‌بعدی با کار برده شده است. نکته موردن توجه اینکه چون در این روش از مشتق مرتبه دوم استفاده می‌شود، باید داده‌های موردن استفاده از نوع با کیفیت باشند یا اینکه قبل از اعمال این روش، داده‌ها ادمه فراسو شوند. این روش روی داده‌های مغناطیس هوابرد فلات ییلگرام استرالیای غربی به کار برده شد که منجر به تعیین توده‌های دایک با

۵ نتیجه‌گیری

در این مقاله با استفاده از مشتقات معادله اویلر نسبت به امتداد X، Y و Z و چند مرحله ساده‌سازی و همچنین با استفاده از اصطلاح سیگنال تحلیلی تعمیم یافته یا مشتقات سیگنال تحلیلی، روشهای عرضه شد که کاربرد آن منجر به برآورد عمق و نوع توده‌های زمین‌شناسی زیرسطحی می‌شود. علاوه بر آن در این روش مانند روش اویلر واههمامیخت متداول موقعیت افقی توده نیز از روی نقاط بیشینه سیگنال تحلیلی برآورد می‌شود. کاربرد این روش روی داده‌های مغناطیسی واقعی و مصنوعی نشان داد که مشتق قائم مرتبه دوم سیگنال تحلیلی مرزهای توده را با

- Nelson, J. B., 1988, Comparison of gradient analysis techniques for two-dimensional magnetic sources: *Geophysics*, **53**, 1088-1095.
- Pedersen, L. B., 1989, Relations between horizontal and vertical gradients of potential fields, *Geophysics*, **54**, 662-673.
- Ravat, D., 1996a, Analysis of the Euler method and its applicability in environmental magnetic investigations, *J. Environmental Eng. Geophys.*, **1**, 229-238.
- Reid, A. B., Allsop, J. M., Granser, H., Millet, A. J. and Somerton, I. W., 1990, Magnetic interpretation in three dimensions using Euler deconvolution, *Geophysics*, **55**, 80-91.
- Roest, W. R., Verhoef, J. and Pilkington, M., 1992, Magnetic interpretation using 3-D analytic signal: *Geophysics*, **57**, 116-125.
- Salem, A., Ravat, D., Gamey, T. J. and Ushijima, K., 2002, Analytic signal approach and its applicability in environmental magnetic investigations, *J. Appl. Geophys.*, **49**, 231-244.
- Smith, R. S., Thurston, J. B., Dai, T. F. and MacLeod, I. N., 1998, ISPI—the improved source parameters imaging method: *Geophys. Prosp.*, **46**, 141-151.
- Smith, R. S. and Salem, A., 2005, Imaging depth, and susceptibility from magnetic data: The advanced source-parameter imaging method: *Geophysics*, **70**, 31-38.
- Salem, A., Ravat, D., Smith, R. and Ushijima, K., 2008, Interpretation of magnetic data using tilt angle derivatives: *Geophysics*, **70**, L7-L12.
- Thompson, D. T., 1982, "EULDPH" a new technique for making computer-assisted depth estimates from magnetic data: *Geophysics*, **47**, 31-37.
- Thurston, J. B. and Smith, R. S., 1997, Automatic conversion of magnetic data to depth, dip, susceptibility contrast using the SPI method, *Geophysics*, **62**, 807-813.
- Thurston, J., Guillou, J. C. and Smith, R., 1999, Model-independent depth estimation with the SPI method, 69th Ann. Internat. Mtg. Soc. of Expl. Geophys., Expanded Abstracts, 403-406.
- Williams, S. E., Fairhead, J. D. and Flanagan, G., 2002, Realistic models of basement topography for depth to magnetic basement testing, 72th Annual International Meeting, SEG, Expanded Abstracts, 814-817.
- Williams, S. E., Fairhead, J. D. and Flanagan, G., 2005, Comparison of grid Euler deconvolution with and without 2D constraints using a realistic 3D magnetic basement model: *Geophysics*, **70**, L13-L21.

شدت‌های متفاوت مغناطیس شدگی شد. نتایج حاصل از کاربرد این روش روی داده‌های مغناطیس دو بعدی مربوط به یک نیم‌رخ مغناطیس سنجی معدن سنگ آهن مرکزی شهرستان بافق در مدل‌سازی معکوس تأیید شد.

مراجع

- AtchutaRao, D., Ram Babu, H. V. and Sanker Narayan P. V., 1981, Interpretation of magnetic anomalies due to dikes, The complex gradient method, *Geophysics*, **46**, 1572-1578.
- Bastani, M. and Pedersen, L. B., 2001, Automatic interpretation of magnetic dikes parameters using the analytic signal technique, *Geophysics*, **66**, 551-561.
- Blakely, R. J., 1995, Potential theory in gravity and magnetic applications, Cambridge Univ. Press.
- Debeglia, N. and Corpel, J., 1997, Automatic 3-D interpretation of potential field data using analytic signal derivatives, *Geophysics*, **62**, 87-96.
- Hsu, S. K., Sibuet, J. C. and Shyu, C. T., 1996, High-resolution detection of geologic boundaries from potential anomalies: An enhanced analytic signal technique, *Geophysics*, **61**, 373-386.
- Hsu, S. K., Coppens, D. and Shyu, C. T., 1998, Depth to magnetic source using the generalized analytic signal: *Geophysics*, **63**, 1947-1957.
- MacLeod, I. N., Jones, K. and Dai, T. F., 1993, 3-D Analytic signal in the interpretation of total magnetic field data at low magnetic latitudes, *Expl. Geophys.*, **24**, 679-688.
- Nabighian, M. N., 1972, The analytic signal of two-dimensional magnetic bodies with polygonal cross-section: Its properties and use for automated anomaly interpretation: *Geophysics*, **37**, 507-517.
- Nabighian, M. N., 1974, Additional comments on the analytic signal of two dimensional magnetic bodies with polygonal cross-section: *Geophysics*, **39**, 85-92.
- Nabighian, M. N., 1984, Toward a three-dimensional automatic interpretation of potential-field data via generalized Hilbert transforms: fundamental relations, *Geophysics*, **49**, 780-786.